

# 鉄筋コンクリートトラス構造の研究

広島大学工学部 嶋津孝之

## 1. 序

鉄筋コンクリート構造は、耐火、耐久、経済性等多くの長所をもつていて、特に梁、柱で構成するラーメンだけで地震等水平力にかなりの程度耐えらるることが大きな特徴である。しかし最近のいくつかの地震被害を示すように、純ラーメン構造だけで大地震に耐えらることは相当困難なようである。耐震壁は、この点、ラーメンを助けるのに有効なものであるが、自然持光、動線等の問題から位置が限界を有する。一方ラーメンに十分な断面の斜材を入れれば、主に軸力を抵抗するトラスとなるが、これは耐震壁に比べ、位置の自由度が高くしかも耐震壁に比敵する大きな抵抗力をもつものと考えられる。すでに建物の外側骨組や耐震壁の基礎回転防止にトラスが組まれたものもあるが、これから建築物の大型化、高層化に対してトラス骨組を主体としたものも考えられる。以下に示す報告は、鉄筋コンクリートトラス構造の耐震性を評価するために行った、一層ースパンの筋遣、入骨組の頂部に静的継返し水平力を加えて破壊させた模型実験を内容とするものである。実験の詳細は文献1、2に報告を行った。ここでは特に、トラス骨組の終局強さと剛性並びに継返し時の抵抗機構について考察を加えたものを報告する。

## 2. 鉄筋コンクリートトラス骨組の部材かうける力

図1(a)のトラスの基本形において水平力を上げてゆくと引張部材が降伏してトラスが降伏するか、もしトラスの結合部が完全なピンであるとすると引張部材が降伏したあとはその降伏値が一定であれば、圧縮部材の応力はそれ以上増加しないから、このトラス骨組の降伏後の剛性はきわめて零のものになると考えられる。図1(b)の場合も同じであって両引張部材が降伏した状態では両圧縮部材は次に示すような応力をうけたままで变形だけが進行する。この点は鉄筋降伏以後、中立軸位置の変化を伴う、圧縮部分の応力度が今までゆく耐震壁など曲げ材と著しく異なっている。又高次のトラス骨組でも同じような崩壊形を考えてゆけば、同様の降伏状態を求める。このようにトラス骨組においては、圧縮力をうける部材が、骨組の降伏状態において、その圧縮耐力より小さい応力をうけることか、骨組の耐力、剛性確保の必要条件となるか、もし正負交互の水平力が加わった場合には、これら部材は図8のような圧縮・引張の交番応力をうけると考えられる。さらに鉄筋コンクリート構造では一体打ち込みによって上記のようなピンは剛節点におけるべきである。そのため、

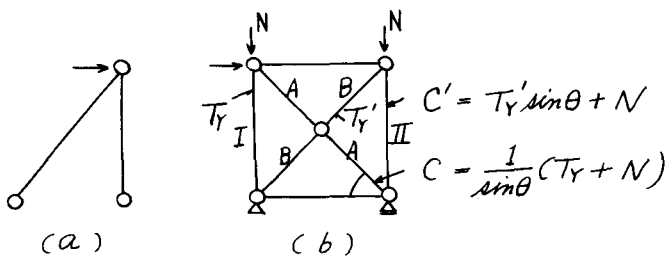


図 1

部材は、軸力だけではなく、曲げモーメントや剪断力をうける。以下にのべる筋道、入骨組もこのよき剛節点をもつたものである。

### 3. 筋道、入骨組の水平力加力実験

試験体は図1(6)の形体で実物の $1/5 \sim 1/10$ のものである。附図1に試験体形状、寸法及び配筋状態を示す。図1(6)に示す如く、斜材Bの引張降伏耐力が柱Ⅰの引張降伏耐力よりかなり大きき場合以外は斜材Aの方か、柱Ⅱより大きな圧縮力をうける。本実験の試験体は筋道の角度が、 $45^\circ$ で、かつ各試験体で、斜材A、B、柱Ⅰ、Ⅱの鉄筋量を同一にしたので、斜材Aの方か柱Ⅱよりかなり大きな圧縮力をうけることになった。試験体の種類として、これら鉄筋量がコンクリート断面に対して、約1%，2%，3%の3種があり、又軸力Nは0の場合とある一定値（通常の長期荷重を考え、 $40 \text{ kg/cm}^2$ 程度のものが、柱に加わるようにした）との2種がある。その結果骨組降伏時の斜材Aのうける圧縮力Cとコンクリート圧縮耐力 $F_{cBD}$ で除して値（以下軸圧比とよぶ）は図1(6)の節点ピンの降伏強度に基づいて計算すると図2のようになる（柱Ⅱについても同様に軸圧比を計算すると同図の点線値）。以上の6種のものは附図1に示す標準寸法の部材で構成されていいるが、比較のために細長比の大きい部材の試験体も作成した。斜材だけを細長くしたもの（HP型）、斜材、柱共に細くしたもの（H型）があつて（同じようにこねらの軸圧比も図2に示してある）。尚試験体部材の帶筋は極力少くし（帶筋比 $P_w = 0.2\%$ 以下）帶筋比のない場合の基本的な性状を把握できるようにつけられた。一方部材の接合部には接着剤のないよう十分な補強を行った。又材料としてのコンクリートの粗骨材の最大径は5mmで実験時のシリカゲー強度は平均 $210 \text{ kg/cm}^2$ である。一方主筋は6中、帯筋は2中を使用した。6中の降伏強度、破断強度、伸び率はそれぞ $2.72 \text{ kg/cm}^2$ 、 $3.58 \text{ kg/cm}^2$ 、 $21.7\%$ であった。加力方法は附図2に示すようにアムスラーによって水平力を、ジャッキによって一走軸力を加えた。いづれの試験体も水平力一たわみ（図1(6)の両頂部の横方向変位の平均値）曲線が降伏する以前、降伏近辺、降伏後、および大変形時に夫々1回の正負等振幅をたわみの繰返し水平力を加えた。各節点の変位はダイアルゲージで、試験体によってはコンクリート表面、内部鉄筋の歪をストレインゲージで測定した。

図3に各試験体の水平力P一たわみS曲線を示す。繰返しを行つたので包絡線である。いづれも節点をピンと仮定した理論耐力を上まつてゐる。軸圧比0.81のものは比較的小変形で荷重低下が著しく

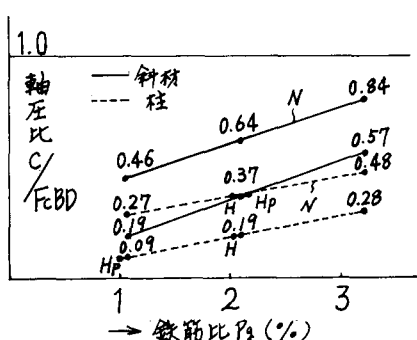


図 2

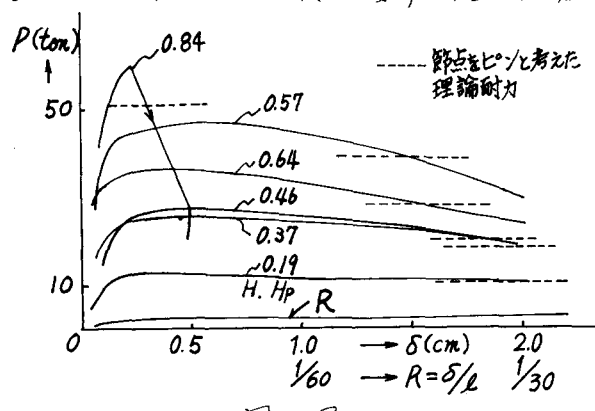


図 3

いかされ以外のものは部材角(たかみ/階高)が $1/50$ 以上になるまで理論耐力を下らない。又軸圧比が大きいものは最大耐力以後の荷重低下の勾配が著しい。尚試験体の破壊状況を図3-10に示す。

同図に示す如く、軸圧比0.84のものが著しく荷重低下を示してるのは、柱上に剪断ひびわれが発生したためである(その後斜材Aが圧壊した)。軸圧比1.2に相当するような大きな圧縮力が瞬間に作用してたためと考えられる)。この試験体の柱の軸圧比は0.48であって斜材よりもはるかに小さいが、次項で説明するように、終局時では、斜材よりも材長が短くなる。又他の試験体でも、大変形後は柱の剪断破壊したものが多い。

#### 4 トラス骨組の終局耐力

図4は降伏後の試験体の応力状態を推定したものである。引張部材B, B'はいずれも降伏しててその節点はピンになってる。一方圧縮部材は、曲げモーメントと剪断力をうけている。図5は斜材Aと柱Iがこのような状態に至るまでに、柱との部材の接合部近辺の断面からうける軸力とモーメントの関係を示している。はじめは弹性応力分布と仮定して一連の割合の軸力とモーメントをうけるか、ひがみや既生筋は段々変化して、骨組降伏に至つては、圧縮部材は一定の軸力のままモーメントがふえ、一方引張部材は降伏後モーメントは0にならざるを得る。トラス骨組の終局耐力を考慮するためには、圧縮部材からうける剪断力の大きさをこれら2図を用いて計算してみる。斜材A、柱Iの下端から先の降伏モーメントに達し、上端は梁端のモーメント(梁の配筋量は図2に示すようにする)で斜材・柱の断面の最もモーメント以下である)に達していると仮定し、また、モーメントの和をその材長(内法寸法)で除した値をそれがである。8種の試験体の両圧縮部材について求め、左山をさうに

$B \times 7/8 d$ で除した値を図2に括して示してある。軸圧比0.84のものと、0.56のものは、柱から先を $20 \text{ kg/cm}^2$ 以上の剪断応力度をうけてるところになる。前述したように、軸圧比0.84のものは

文献4.5の各式。記号は常会TRC規準書に従う

$$4) T_c = (1.425 + \frac{38}{(M/l)_c + 10}) \sqrt{F_c} (\text{PSI}) = 1 = \frac{(M/l)_c}{\pi P d}$$

$(M/l)_c = l - N/l (D/2 - \frac{d}{8})$ であるが、 $l$ (ミラスパン)

に比べて後項が大きくなることを無視した。

$$5) T_u = (16 + 0.12 F_c) (D/l)^{0.375} + 1.7 \sqrt{P_{u,s} \sigma_y} (\text{kg/cm}^2)$$

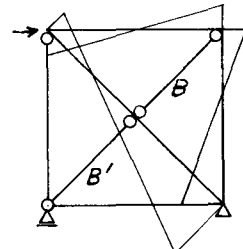


図 4

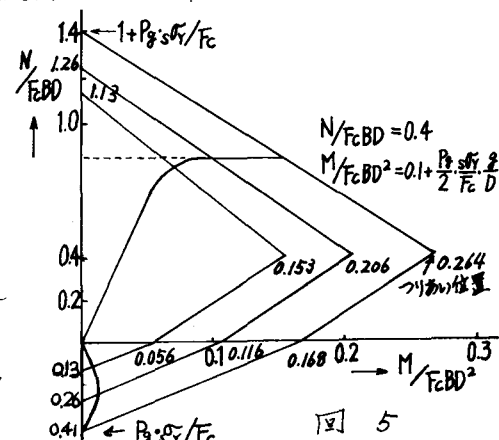


図 5

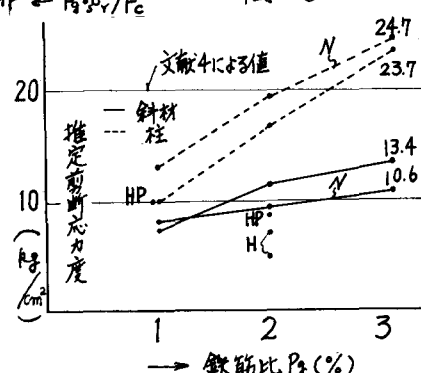


図 6

二のものに、柱が崩壊し、荷重が激減した。軸圧比 0.56 のものや、他のものも多く、大変形時であるか、柱が、剪断破壊している。軸力のものでの剪断耐力に関する研究は現在まであまり多くないが、文献 4, 5 のうち 4 に示されている式を用いて軸圧比 0.84 のものの柱の剪断強度を計算してみると  $20 \text{ kg/cm}^2$  程度になる。このことから、文献 4 による式によつてある程度、剪断耐力の検定が可能であると思われる。一方軸圧比 0.84 をはじめ 0.46 以上の斜材は図 5 に示す如く、フリッカ位置より軸力を受けしており、その耐力は鉄筋降伏より、コンクリート圧縮が先行して、マーメード曲率曲線において降伏部分からなる状態であるから、今回の実験では 0.84 以外はかなりの範囲を示した（前述したとく） $\approx 0.84$  の斜材も空筋は柱の剪断破壊で圧縮してそのと思われる）。即ち図 6 で斜材の伸び量を無視すると、斜材の变形部斜角と骨組の变形角とは等しくなるが、図 3 が明らかなるように 0.84 以下のものは  $1/100$  以上の剛性を示して…。一方、一定軸圧のもので、曲げ、剪断を加えて破壊させた実験は軸圧比が 0.6 程度から  $1/100$  が行われており、文献 6 によれば軸圧比が  $1/3$  以下では柱の斜角は  $1/100$  は期待できるといふ。しかし今回の試験体の斜材は終局時ににおいて、図 4 に示す如く、比較的長いものになると、このようなものにはさし、 $1/100$  の剛性を確保するためには、軸圧比  $1/3$  といふ値はかなり安全側の限界値と考えられる。尚、H 型試験体は骨組変形角が  $1/40$  程度のところでは荷重を加えたところ、斜材が柱面をかいたところ、附図 10 に示すように、柱と斜材が離れた。この試験体は剛性 = なしであるが、小変形時での線直しによつても荷重の伸びりが悪く、あまり細長いものも好ましくないことに注意する必要がある。

## 5 ト拉斯骨組の複元力特性

復元力特性は、荷重の剛性の場合と異なり、剛性の問題であるから、柱が斜きはじめて困難であるが、ここでは簡単な仮定を設けることによつて比較的容易に把握できると思われる。

考慮をすすめると、又降伏以後に柱の剛性は零と見なされる。単純引張・圧縮の交番応力をうけた鉄筋コンクリート部材の性質をしらべて実験はあるが、文献 7, 8 からその様子をあぶり出すのがかかるところである。図 8 のように形で、引張降伏せんあと、減力するとコンクリートの引張力を無視して鉄筋だけの剛性の勾配であります。引張範囲ではコンクリートはせんじんと関与しない、即ちボンドのない状態である。そのため引張減力後、圧縮力を加えると、コンクリートの伸びわかれが下さかる図の A 点まで、鉄筋だけの抵抗となる。さらに

図 8 の I の代りに II のような場合もありうるが、以下の考察には簡単な I の場合をとることにする。又骨組の降伏後では、3 で定義した軸圧比がかなり大きい場合以外でコンクリートの伸び量は、鉄筋の伸び量に比べ、小ないので、図 8 の第一象限の部分は剛性無限大とする。図 9 の基本ト拉斯において、斜材と柱は同一の点から伸び曲線をもつているものである。右方回転の水平力を加えてゆくと斜材が引張降伏してト拉斯は降伏するが、その段の方は図 9 の A 点にとどまる。減力すると原点にとどまる。次に第一の水平力を加えると柱は B 点を通じて、引張降伏する。そして

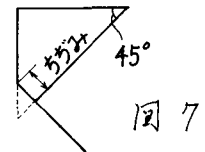


図 7

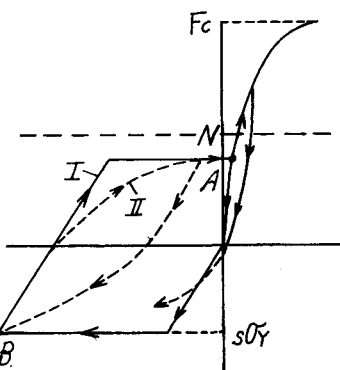


図 8

C点で減力するとO'に落ちつく。再びその水平力を加えるとO'A'O'の道を通り、さらの一の水平力を、Cを経由して伸びて増加する。二のように柱は圧縮耐力をフルに発揮できません。たゞ、絶対に回数だけ伸びれば、えてゆくニに注意する必要がある。以上でえられた水平力一元曲線が図10である。今回の筋道入骨組は基本トラスを2つとめた、圧縮斜面積入骨組であるから、圧縮力だけをうける部材は剛性と伝定した二より、上記して、基本形トラスとその反対のもの(図10を上下逆にする)の和が、骨組の筋道曲線となる。図11の細線がそれである。減力時間性比と追加力の初期剛性比とは異なるが、曲げ材の下弯形時と逆直しにみられる逆S字形にはならない。一方筋道入骨組にあらかじめ軸力が作用している場合を作成したのが図10の大線のループである。軸力が加わっている様は図8に示すように引張力か、軸力Nをええ、はじめ伸びはじめたばかりで、ちょうど横轴を軸力Nだけ上に移動させた場合の部材の軸力-筋道曲線となる。二のような形をもつ基本トラスは追加力時に、図8から明らかなように、引張側外縁の強度がは、水平力がO近くになると伸びた軸力の変化なしにO'にもどってしまう。その結果、軸力のある場合は図11のよう逆S字形になる。以上のモデルを用いて実験結果を検討してみると、図11より、降伏後の正負等振幅筋道では、負荷もし、再正荷をするも耐力の低下かる。実験結果は比較的小弯形をもろわれているが、大弯形には至ってもさほどその特徴が見らる。しかし大弯形で筋道した場合は不明である。次に逆直時の弯形勾配によるときの荷重などの程度のものを調べるために軸力のない場合は、逆直時の最大耐力より算出する程までモデルによると比率0.83の直近になつてゐる。軸力のある場合は降伏後でも、モデルの値は小さいか、実験結果は弯形値を示してゐる。実験結果は明らかに第四象限から第三象限に移るためである。最後に減力時の剛性をしうべるために減力時の勾配をモデルの勾配(但しコンクリートの弾性率を考慮したもの)と比較して二。

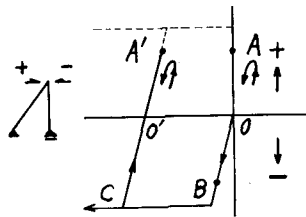


図 9

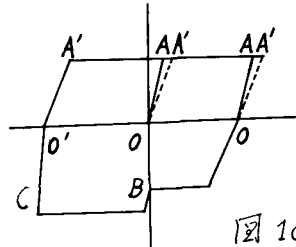


図 10

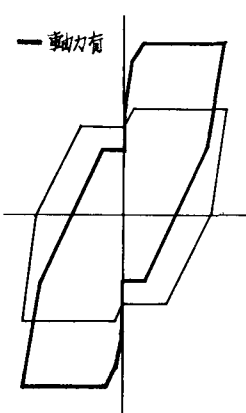


図 11

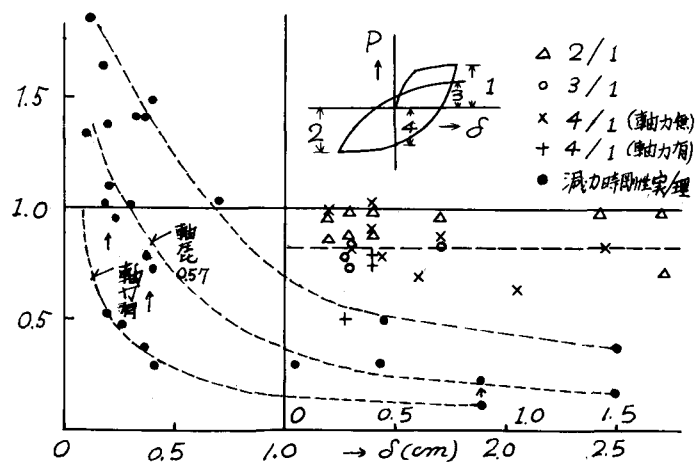


図 12

動力のない場合は、軸圧比 0.57 のもの以外はほぼ同一の曲線にのっているか、大菱形では実験値が相当低い。軸圧比 0.57 のものは、さらに小さな値を示しているが、二の骨組の斜材はもはや塑性範囲ではないから、それがあらわれたものと思われる。コンクリート及び鉄筋の応力値を各曲線(後者は大菱形での)をモデルに導入してやかねばならぬことを示唆している。動力のある場合は軸のためには、強力時の勾配を、動力のない場合と同様のモデルのはじめの頭の勾配で除した値も示した。動力のない場合に比べ、さわめて小さく(図 12 の中の・)がモデル理論値と比較

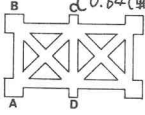
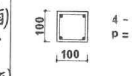
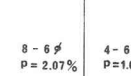
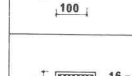
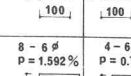
### 6. おまけ

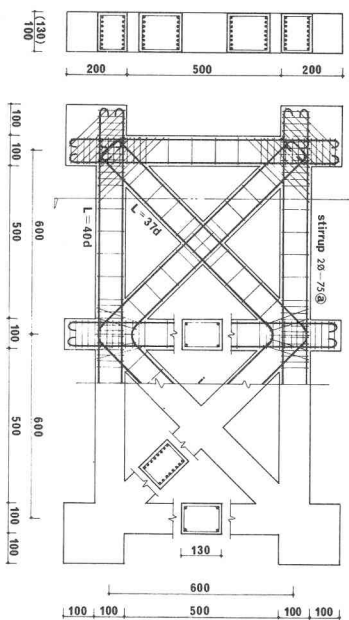
一層ースパンの鉄筋コンクリート筋蓋入骨組の水平加力実験結果を用いて、鉄筋コンクリートトラス骨組の水平力に対する終局強度と剛性に関する一つの判断標準を提示し、同時に繰返し力をうけたときの抵抗機構について考察を行った。

謝辞 本研究の遂行に当り、終始御配慮賜かりました広島大学工学部松浦誠、桂代仁朗両教授に深謝の意を表します。又研修会開催の修士論文、卒業論文をまとめていた呉工博福原安洋講師並びに 23 名に及ぶ卒業生諸君、及び、3、4、3、3と協力して、この研究に貢献された方々に心から感謝します。

### 参考文献

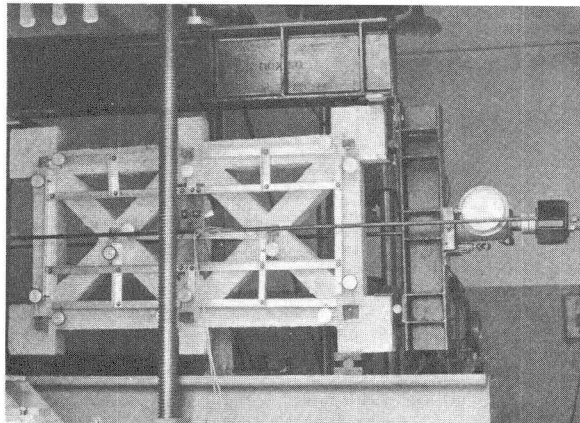
1. 岩津者之、園田邦夫、山本訓史：鉄筋コンクリート筋蓋、入骨組の実験的研究(第1報)、九大工学部研究 Vol. 16, No. 1 1967, 12
2. 岩津者之、福原安洋：鉄筋コンクリート筋蓋、入骨組の実験的研究(第3、4報)日本建築学会 大会講演集 1969. 8
3. 横村寛計：ばかり、柱の曲げ終局強度算定法 鉄筋コンクリート規準書(1962年版)P 237~241
4. Jodean Morrow and I. M. Viest : Shear Strength of Reinforced Concrete Frame Members Without Web Reinforcement Journal of the A. C. I. No. 10 Vol. 28 Apr. 1957
5. Y. Tsuboi and Y. Swanga : Study on Shearing Resistance of Reinforced Concrete Members of Frameworks under Combined Stresses (Part 5) Transactions of the A. I. J. No. 68 Jun. 1961
6. 日本建築学会：鉄筋コンクリート構造計算規準・同解説(1971年版) P164-P168
7. 武田壽一、藤木武彦：鉄筋コンクリートトラスに関する実験的研究 日建学会大会講演集 1968. 10
8. 建築学大系 9-II 材料力学(新)国社 1969 年版) P324 ~P331

FIGURE OF SPECIMEN	SECTION OF MEMBERS		
	AD, BC, AC, BD	AB	CD
車由圧比 0.27 $\begin{cases} 0.46 \text{(動力有)} \\ HPH \rightarrow \end{cases}$ $\begin{cases} 0.37 \\ 0.64 \text{(動力有)} \end{cases}$  $\{ 0.57 \rightarrow$ $\{ 0.84 \text{(動力有)}$	   	8 - 6φ $P = 2.07\%$  	

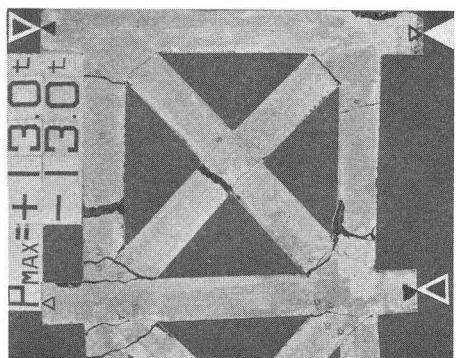


(a)

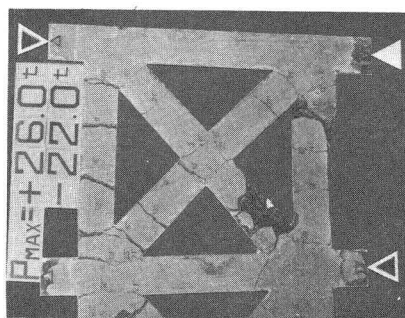
附圖 1 試験体形状・寸法及荷重筋



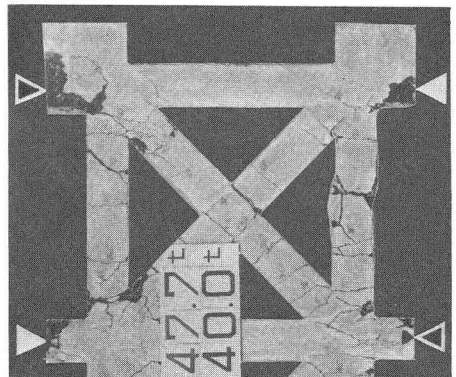
附圖 2 加力測定装置



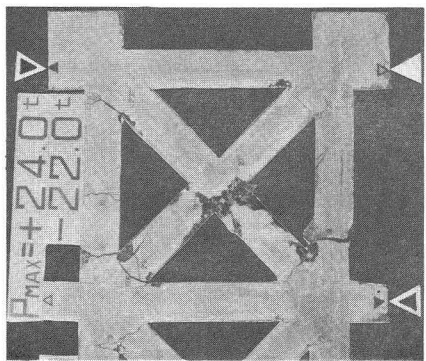
附圖 3 車由圧比 0.27



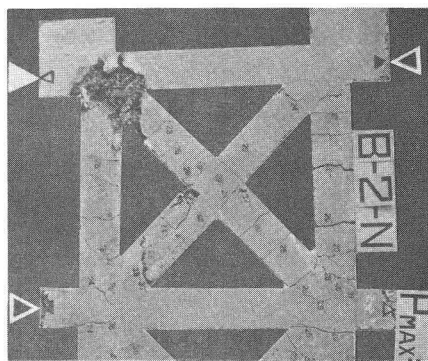
附圖 4 車由圧比 0.37



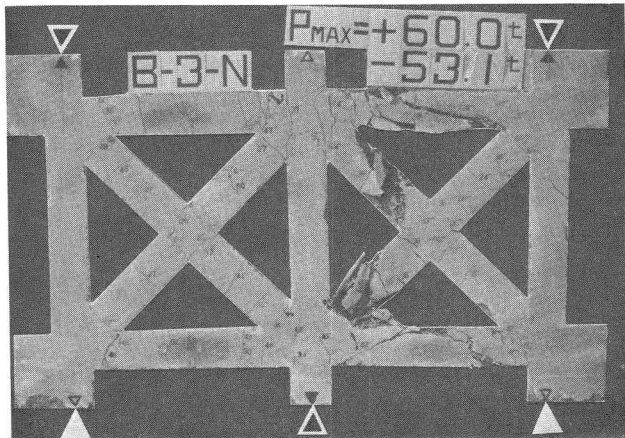
附圖 5 車由圧比 0.57



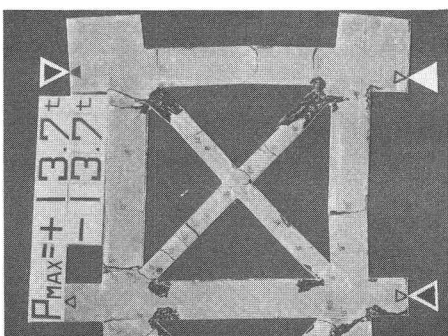
附圖 6 軸圧比 0.46(動力有)



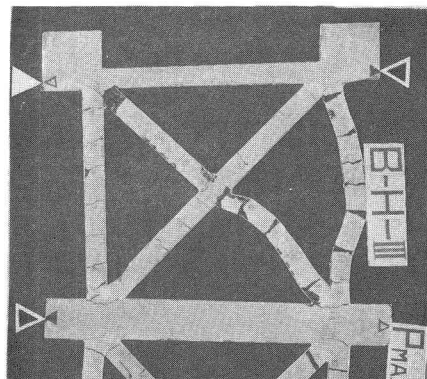
附圖 7 軸圧比 0.64(動力有)



附圖 8 軸圧比 0.84(動力有)



附圖 9 HP



附圖 10 H